

不静定構造物の破壊確率に関する2~3の考察

京都大学工学部

正員

小西一郎

京都大学工学部

正員

白石成人

京都大学工学部

正員

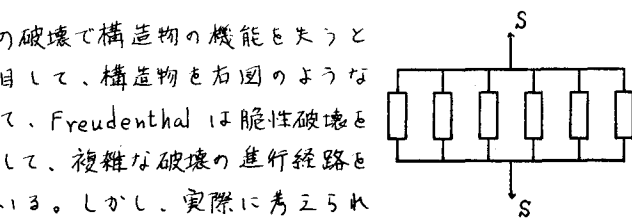
・白井勝之

1) 序

不静定構造物の場合、単に一部材の破壊で構造物の機能を失うと見なすことはできない。この点に着目して、構造物を右図のような単純な並列部材よりなるモデルとして、Freudenthal は脆性破壊と、又西村は更に延性破壊をも対象として、複雑な破壊の進行経路を系統的に取り扱った循環式を導いている。しかし、実際に考慮される不静定構造物は、図の様な単純なモデルに分離できず、力の流れはより複雑である。以下では、簡単な実際の構造物に対して、その破壊確率の算定法を考えてみる。

2) 一次不静定トラスの破壊確率

左図に示すようなトラス構造に、ラニダムな荷重 S がかかる場合を考える。各部材の断面積は、すべて α とし、最弱部材に対して許容応力法



(a)

(b)

が適用され、降伏により、該部材の破壊となる。荷重 S により各部材に導入される荷重の割合 C_i は、 $C_1 = \frac{5}{(5+3\sqrt{3})}$, $C_2 = C_3 = \dots = C_6 = \frac{3}{(5+3\sqrt{3})}$

(1)

従て、抵抗のランダムな性質を考慮しても、部材 1 が最も早く降伏点に達すると考えられ、この部材に対し許容応力法を適用すれば、断面積 α は

$$\alpha = \frac{\rho c_s s}{c_p} \quad (2)$$

部材 1 が降伏した後、荷重の増分 s' は(b)図に示すような静定構造でなければならず、部材 2 へ 6 に導入される力の比率 $C'_i = s'/s$ は

$$C'_2 = C'_3 = \dots = C'_6 = \frac{1}{\sqrt{3}} \quad (3)$$

このトラスが 1 個のランダムな荷重を受ける時の残存確率は、各部材の破壊事象 E_i 、残存事象 E_i^c を用いて次のように表わせる。

$$L = P_r[E_1] + P_r[E_1 \cap E_2 \cap E_3 \cap \dots \cap E_6] \quad (4)$$

部材 1 の降伏点を定めますべく定数と考へれば、部材 1 が降伏する時の荷重 s^* が定数として定まり、 $P_r[E_1] = P_r[C_1 s < \alpha y] = F_S(\frac{\alpha}{C_1} y)$

(5)

$$s^* = \frac{\alpha}{C_1} y \quad (6)$$

荷重が s^* より大きい場合は、部材 1 は αy なる抵抗を持続し、降伏後の荷重の増分 s' は、静定トラスで受けられる。各部材の抵抗 K_i との統計的独立性を仮定すれば、

$$P_r[E_1 \cap E_2 \cap E_3 \cap \dots \cap E_6] = \int_{s^*}^{\infty} \prod_{i=2}^6 F_K(C_i s^* + C_i s') f_{s'}(x) dx \quad (7)$$

$$s' = x - s^* \quad (8)$$

$F_R(x) = F_c(\frac{x}{c})$ なる関係があり、この事と式(6), (8)を用いれば、

$$P_r(E_1 \cap E_2 \cap E_3 \cap \dots \cap E_n) = \int_{\frac{c}{2}y}^{\infty} \sum_{i=2}^n F_c(\frac{c_i}{c}y - \frac{c_i}{c}x + \frac{c_i}{a}x) f_s(x) dx \quad (4)$$

式(4)は式(5)(6)を代入すれば、部材1の降伏点よりの場合のリライアビリティが求まる。すべてのyの取り得る範囲を考えれば、

$$L = \int_0^{\infty} \left[f_s(\frac{c}{c}y) + \int_{\frac{c}{2}y}^{\infty} \sum_{i=2}^n F_c(\frac{c_i}{c}y - \frac{c_i}{c}x + \frac{c_i}{a}x) f_s(x) dx \right] f_c(y) dy \quad (10)$$

(10) 式1=式(2)を代入すれば、破壊確率は、

$$P_f = 1 - L = 1 - \int_0^{\infty} \left[F_s(\nu \frac{S_g}{c}y) + \int_{\nu \frac{S_g}{c}y}^{\infty} \sum_{i=2}^n F_c(\frac{c_i}{c}y - \frac{c_i}{c}x + \frac{c_i}{a}x) f_s(x) dx \right] f_c(y) dy \quad (11)$$

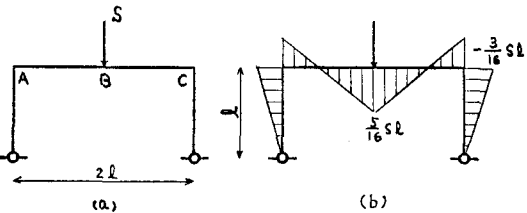
従って、安全率νのみの函数となり、数値積分をすれば破壊確率を得る。

3) 内型ラーメンの破壊確率

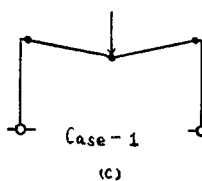
(a) 図の様な内型ラーメンに、ランダムな鉛直荷重Sが作用する場合を考える。曲げモーメントMは(b)図の様になる。梁と柱の隅街部A, Bは、脚が伸びるとすると、塑性ヒンジは、柱が梁のどちらかにひきる。従って、崩壊機構の型式は、図に示すように四種類考えられる。各崩壊機構の抵抗K_iは、

$$\left. \begin{aligned} K_1 &= (M_{AB} + 2M_B + M_{CB})/l \\ K_2 &= (M_{AB} + 2M_B + M_{CA})/l \\ K_3 &= (M_{AC} + 2M_B + M_{CB})/l \\ K_4 &= (M_{AC} + 2M_B + M_{CA})/l \end{aligned} \right\}$$

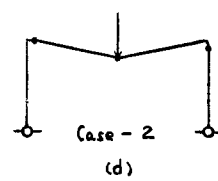
(12)



(b)

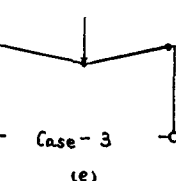


(c)

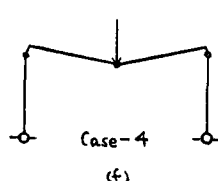


(d)

各K_iは、荷重Sと比較され、もし仕事のK_iがシよりも小さいならCase-iの崩壊機構が成立し、ラーメンが破壊する。断面での全塑性モーメントの算量が同じ正規分布にしたがい、



(e)



(f)

その平均値をμ、分散をδ²とすれば、各抵抗K_iはこれらの一式式で表わされるので、これも正規分布に従い

\mu_{R_i} = 4U/l \quad i=1, \dots, 4 \quad (13)

一方K_iの分散S_{Ri}²は、

$$S_{R_i}^2 = \frac{1}{l^2} \{ 6S^2 + 4\mu_{AB}S^2 + 2\mu_{AB}\mu_{BC}S^2 + 4\mu_{BC}S^2 \} \quad (14)$$

μ_{AB} は、 M_{AB} と M_{BC} の相関係数である。C-7のCを位置x、D-7と同じ距離から完全に独立、これは独立と仮定すれば、

$$S_{R_1}^2 = \frac{16}{l^2} S^2 \quad \text{同様に} \quad S_{R_2}^2 = \frac{12}{l^2} S^2, \quad S_{R_3}^2 = \frac{10}{l^2} S^2, \quad S_{R_4}^2 = \frac{8}{l^2} S^2 \quad (15)$$

従て、各崩壊機構のK_iの分散係数は、 $F_{R_i}(z) = \Phi(z - \mu_{R_i}/\delta_{R_i})$ (16)

各崩壊機構の破壊確率は、 $P_{f_i} = \int_0^{\infty} \Phi(z - \mu_{R_i}/\delta_{R_i}) f_s(x) dx$ (17)

従て、ラーメン全体の破壊確率P_fは、次式のようになる。

$$P_{f_1} \leq P_f \leq \sum_{i=1}^4 P_{f_i} \quad (18)$$